

Simulation of moisture distribution in different soil textures under a point source using the moment analysis method

Ali Nouri¹, Ali Ashraf Sadraddini², Saeed Samadianfard^{3*}, Fatemeh Mikaeili⁴

¹ M.Sc. Student, Department of Water Science of Engineering, Faculty of Agriculture, University of Tabriz, Tabriz, Iran

² Professor, Department of Water Science of Engineering, Faculty of Agriculture, University of Tabriz, Tabriz, Iran

³ Associate Professor, Department of Water Science of Engineering, Faculty of Agriculture, University of Tabriz, Tabriz, Iran

⁴ Ph.D. Student, Department of Water Science of Engineering, Faculty of Agriculture, University of Tabriz, Tabriz, Iran

Extended Abstract

Introduction

Water scarcity and the need for optimal water utilization in arid and semi-arid regions, including Iran, have encouraged water authorities and farmers to adapt modern irrigation systems like drip irrigation, to make optimal use of water resources. The most important advantage of drip irrigation over other irrigation methods is its ability to control the amount of water applied to each plant. New irrigation methods focus on plant irrigation and not on land irrigation. In arid and semi-arid regions, a drip irrigation system is used to use water optimally and prevent wastage and evaporation. Factors such as soil texture, type of cultivated plant, amount of available water, distance of drippers and laterals, the wetted surface, and the dimensions of the moisture bulb under the soil surface are involved in the design of the drip irrigation system. Due to the variety of soil textures in the earth, the movement of water under the soil surface is different in all kinds of textures, therefore, knowing exactly how water moves in the soil and how the moisture bulb is distributed under the soil surface is of particular importance. The purpose of this study is to investigate the movement of moisture bulbs, check their dimensions under the soil surface in different soil textures and flow rates, and evaluate the capability of the Moment analysis method to simulate this process under various conditions.

Materials and Methods

To simulate the moisture bulb in different soil textures, detailed information on the physical properties of the soil, including the percentage of particles that make up the soil texture, bulk and real density, porosity, and saturated hydraulic conductivity, is required. In this research, the simulation of the moisture front in different soil texture was conducted using Rosetta software, which defines 12 types of soil textures. In these tests, the source of soil power was considered as surface and point. The total feeding volume of each type of soil texture is 24 L, and this volume was used with different flow rates of two, four, six, and eight L s⁻¹. To numerically simulate the progress of the moisture front, Hydrus software was used. Then the analytical simulation of the moisture front was done using the equations of the Moment analysis method. In this study, an ellipse was drawn to represent the moisture bulb simulated by Hydrus software at different times for the applied flow rates. Coefficient k was used to draw the ellipse, and its appropriate value was determined by minimizing the difference between the model and Hydrus results.

Results and Discussion

To calculate the moments, the first step is to obtain the values of M₀₀ According to the applied flow rates of two, four, six, and eight L s⁻¹ and the amount of volume intended to feed all types of soil texture, i.e., 24 L, the duration of irrigation is 12, 6, 4, and 3 hr, respectively. The comparison of moisture distribution over all periods and soil textures showed acceptable results, and the distributed subsurface moisture values were similar. In the study of clay texture, with time from the start of irrigation, the difference in the total amount of distributed moisture increased, and the reason for this result is the decrease in the permeability of the clay due to the filling of fine pores. The results indicated that σ_{x2} values changed with the increase in irrigation duration. The highest variance was found in sandy clay with a flow rate of 8 L s⁻¹ (1503.3 cm²), while the lowest variance was



observed in clay texture with a flow rate of 4 L s^{-1} (368.6 cm^2). By increasing the amount of applied discharge, σ_{zz} increases and the slope of this increase is different in each soil texture, according to the characteristics of that texture. Also, the effect of irrigation duration on the value of σ_{zz} is evident. In other words, the longer the duration of irrigation, the more the amount of variance changes.

Conclusion

In this research, the accuracy of the Moment analysis method in predicting moisture distribution from drip irrigation was evaluated using results from Hydrus and Moment analysis. The Hydrus results demonstrated that the moisture bulb expanded over time in both the horizontal and vertical directions. The results also indicated higher flow rates increased the horizontal expansion of the moisture bulb, while the duration of irrigation affected both horizontal and depth expansions. Using the moment analysis method, the center of mass of water distribution in the soil and the changes in the moisture front along the x and z axes were determined. By examining and comparing the dimensions of the moisture front resulting from Hydrus and ovals, it was observed that there is a suitable compatibility between the two methods. Therefore, the Moment analysis method can be relied upon to estimate the dimensions of the moisture bulb in drip irrigation. It also provides an efficient and accurate approach to reducing the time and cost of field experiments.

Keywords: Center of mass, Hydrus, Moisture front, Moment analysis method, Simulation.

Article Type: Research Article

Acknowledgment

We would like to express our sincere gratitude to the University of Tabriz for the financial and logistical support that significantly contributed to the research project.

Conflicts of interest

The authors of this article declared no conflict of interest regarding the authorship or publication of this article.

Data availability statement

The datasets are available upon a reasonable request to the corresponding author.

Authors' contribution

Ali Nouri: Software, methodology, formal analysis and investigation, original draft preparation; **Ali Ashraf Sadraddini:** Resources, manuscript editing, supervision, conceptualization; **Saeed Samadianfard:** Resources, software, manuscript editing, supervision, methodology; **Fatemeh Mikaeili:** Software, visualization, original draft preparation.

*Corresponding Author, E-mail: s.samadian@tabrizu.ac.ir

Citation: Nouri, A., Sadraddini, A.A., Samadianfard, S., & Mikaeili, F. (2024). Simulation of moisture distribution in different soil textures under a point source using the moment analysis method. *Water and Soil Management and Modeling*, 4(4), 167-182.

DOI: 10.22098/mmws.2023.13615.1354

Received: 02 September 2023, Received in revised form: 06 November 2023, Accepted: 06 November 2023, Published online: 06 November 2023

Water and Soil Management and Modeling, Year 2024, Vol. 4, No. 4, pp. 167-182

Publisher: University of Mohaghegh Ardabili

© Author(s)





مدل‌سازی و مدیریت آب و خاک



شایعه‌نامه این‌جاگزین: ۲۷۸۳-۲۵۴۶

شبیه‌سازی توزیع رطوبت در انواع بافت خاک تحت منبع نقطه‌ای با استفاده از روش تحلیل گشتاور

علی نوری^۱, علی اشرف صدرالدینی^۲, سعید صمدیان فرد^{۳*}, فاطمه میکائیلی^۴

^۱ دانشجوی کارشناسی ارشد، گروه مهندسی آب، دانشکده کشاورزی، دانشگاه تبریز، تبریز، ایران

^۲ استاد، گروه مهندسی آب، دانشکده کشاورزی، دانشگاه تبریز، تبریز، ایران

^۳ دانشیار، گروه مهندسی آب، دانشکده کشاورزی، دانشگاه تبریز، تبریز، ایران

^۴ دانشجوی دکتری، گروه مهندسی آب، دانشکده کشاورزی، دانشگاه تبریز، تبریز، ایران

چکیده

به منظور طراحی یک سامانه آبیاری قطراهای، عوامل و متغیرهایی همچون نوع خاک و توپوگرافی منطقه، اقلیم و شرایط آب و هوایی و نوع کشت گیاه مؤثر هستند تا بهترین فاصله قطره‌چکان‌ها، لوله‌های اصلی و لوله‌های فرعی در اجرای سامانه آبیاری قطره‌ای انتخاب شوند. یکی از مهم‌ترین عوامل در طراحی سامانه‌های آبیاری، داشتن آگاهی از الگوی حرکت جبهه رطوبتی در زیرسطح خاک است. این عامل تعیین کننده فاصله قطره‌چکان‌ها و مشخص کننده عمق نسبت لترال‌ها و معین کننده فشار کارکرد سامانه است. روش تحلیلی گشتاور یکی از مدل‌های پرکاربرد و دقیق است که می‌توان به کمک آن و با داشتن خصوصیات فیزیکی بافت خاک، با محاسبه گشتاور درجه اول و دوم، مقادیر رطوبت و تغییرات آن را بررسی کرد. در این پژوهش، به منظور بررسی حرکت جبهه رطوبت زیرسطحی در انواع مختلف بافت خاک، تحت دبی‌های کاربردی متفاوت، به کمک روش گشتاور، ابتدا شبیه‌سازی حرکت پیاز رطوبتی به کمک نرم‌افزار هایدروس دو بعدی انجام شد. در این نرم‌افزار شبیه‌سازی ۱۲ نوع بافت خاک تعریف شده در زیربرنامه رزتا، تحت دبی‌های دو، چهار، شش و هشت لیتر بر ساعت با هدف تدقیق اراضی به میزان ۲۴ لیتر انجام شد. پس از شبیه‌سازی مقادیر رطوبت در گره‌های مختلف، با توجه به مختصات، آن گره‌ها به فایل اکسل منتقل شد. در این فایل محدوده لحاظ شده برای شبیه‌سازی مجدد شبكه‌بندی و برای مراکز هر شبکه میزان رطوبت تزدیک‌ترین گره اختصاص داده شد. نتایج حاصل از این بررسی‌ها نشان داد که گشتاورها قابلیت بیان موقعیت مرکز جرم آب توزیع شده در خاک را در بهترین حالت با خصیب همبستگی برابر با 0.97 و جذر میانگین مربعات خطای 0.07 در دبی چهار لیتر بر ساعت دارا هستند. در حالت کلی، با افزایش میزان دبی مقدار خطای بیشتر و همبستگی کاهش می‌یابد. همچنین، با استفاده از این روش می‌توان محدوده محدوده پیاز رطوبتی رسم شد که صحت مطلوبی را در مقایسه با نتایج حاصل از نرم‌افزار هایدروس نشان داد و قابلیت مناسب مدل پیشنهادی را تأیید نمود.

واژه‌های کلیدی: جبهه رطوبتی، روش تحلیل گشتاور، شبیه‌سازی، مرکز جرم، هایدروس

نوع مقاله: پژوهشی

* مسئول مکاتبات، پست الکترونیکی: s.samadian@tabrizu.ac.ir

استناد: نوری، علی، صدرالدینی، علی اشرف، صمدیان فرد، سعید، و میکائیلی، فاطمه (۱۴۰۳). شبیه‌سازی توزیع رطوبت در انواع بافت خاک تحت منبع نقطه‌ای با استفاده از روش تحلیل گشتاور. *مدل‌سازی و مدیریت آب و خاک*, ۴(۴)، ۱۶۷-۱۸۲.

DOI: 10.22098/mmws.2023.13615.1354

تاریخ دریافت: ۱۴۰۲/۰۶/۱۱، تاریخ بازنگری: ۱۴۰۲/۰۸/۱۵، تاریخ پذیرش: ۱۴۰۲/۰۸/۱۵، تاریخ انتشار: ۱۴۰۲/۰۸/۱۵

مدل‌سازی و مدیریت آب و خاک، سال ۱۴۰۳، دوره ۴ شماره ۴، صفحه ۱۶۷ تا ۱۸۲

ناشر: دانشگاه محقق اردبیلی



مطالعه دیگری، (2009) Siyal and Skaggs در مورد الگوی پخش آب به وجود آمده با لوله‌هایی از جنس سفال به طول ۲۰ متر و عمق ۴۰ سانتی‌متر برای چهار سطح فشار پرداختند. آن‌ها در مقایسه داده‌های اندازه‌گیری شده در مزرعه و شبیه‌سازی شده با نرم‌افزار هایدروس دو بعدی با معیارهای آماری نظیر R^2 و جذر میانگین مربعات خطأ^۲ (RMSE) دریافتند که مدل‌ها کارآبی خوبی در تعیین شرایط بهینه کارکرد لوله‌های سفالی دارند.

از سایر پژوهش‌ها، (2010) Hinnell et al. با استفاده از شبکه عصبی^۳ (ANN) به شبیه‌سازی توزیع رطوبت خاک در آبیاری قطره‌ای پرداختند. Neuro-Drip یک نرم‌افزار مربوط به شبکه عصبی مصنوعی بر پایه نرم‌افزار اکسل است که برای ارائه تصاویر سریع الگوهای خیس شده خاک از قطره‌چکان‌های آبیاری قطره‌ای سطحی طراحی شده است. این پژوهش‌گران مدل‌های عددی را برای سناریوهای مختلف در نظر گرفتند و از نتایج حاصل برای آموزش ANN استفاده کردند. در پژوهشی، Kazemi et al. (2011) همپوشانی الگوهای خیس شدگی خاک تحت قطره‌چکان‌ها را در لوله‌های فرعی آبیاری قطره‌ای زیرسطحی در فاصله‌های متفاوت هم در نرم‌افزار هایدروس با شبیه‌سازی و به صورت آزمایش‌های میدانی مورد بررسی قرار دادند و فواصل مناسب را پیشنهاد نمودند. آن‌ها با بررسی تجربی و عددی توزیع رطوبت خاک در آبیاری قطره‌ای سطحی و زیرسطحی به نتایج مهمی دست یافتند. در این پژوهش، آزمایش‌های میدانی در اراضی ایستگاه پژوهشی دانشکده کشاورزی داشتگاه تبریز بهمنظر تعیین ابعاد پیشروی جبهه رطوبتی و توزیع رطوبت خاک اطراف و فاصله بین دو قطره‌چکان در سامانه‌های آبیاری قطره‌ای زیرسطحی انجام شده و نتایج حاصل با شبیه‌سازی‌های عددی دو بعدی و سه بعدی مدل هایدروس مقایسه شدند. در نهایت، به این نتیجه رسیدند که مدل هایدروس سه بعدی با داشتن مقادیر جذر میانگین مربعات خطای کمتر و صحت بیشتر نسبت به هایدروس دو بعدی از کارآبی بهتری در شبیه‌سازی ابعاد پیشروی جبهه رطوبتی برخوردار است. در پژوهش دیگری، (2013) Ghorbani به ارزیابی مدل‌های پیش‌بینی الگوی توزیع رطوبت خاک با منبع تقدیم نقطه‌ای در سامانه آبیاری قطره‌ای پرداخت. از طریق انجام آزمایش‌های صحرایی، (2017) Norouzian et al. به بررسی الگوی توزیع رطوبت خاک تحت آبیاری قطره‌ای با قطره‌چکان‌های زیرسطحی در خاک دو لایه و در دو حالت زمین مسطح و شیب‌دار پرداختند. در این بین به تفسیر اثرات شبیه‌دار بودن زمین و لایه‌ای بودن

۱- مقدمه

بهمنظر مصرف بهینه آب و جلوگیری از هدر رفت و تبخیر زیاد آن در مناطق خشک و نیمه‌خشک مانند ایران، استفاده از سامانه‌های آبیاری قطره‌ای توصیه می‌شود. اگر کارائی آبیاری تنها ۱۰ درصد افزایش یابد، بدون سرمایه‌گذاری در توسعه منابع آبی جدید، می‌توان تمام آب مورد نیاز شرب و صنعت دنیا را تأمین نمود (Jahantigh, 2021). در طراحی سامانه آبیاری قطره‌ای عواملی همچون بافت خاک، نوع گیاه کشت شده، میزان آب در دسترس، فاصله قطره‌چکان‌ها، تراکال‌ها و سطح خیس شده و ابعاد پیاز رطوبتی در زیر سطح خاک، دخیل هستند. با توجه به گوناگونی بافت خاک در زمین، حرکت آب در زیر سطح خاک در انواع بافت‌ها متفاوت است، از این‌رو، شناخت دقیق چگونگی حرکت آب در خاک و نحوه توزیع پیاز رطوبتی در زیر سطح خاک از اهمیت ویژه‌ای برخوردار است. برای بهینه‌سازی سامانه آبیاری، اطلاع از ابعاد جبهه رطوبتی در انواع بافت خاک‌ها کمک شایانی در طراحی سامانه، انتخاب بهینه فاصله تراکال‌ها و کسیلنده‌ها می‌کند (Zhenjie et al., 2017). انجام آزمایش‌های میدانی جهت بررسی ابعاد جبهه رطوبتی نیازمند زمان زیادی بوده و در بعضی موارد، عملأً غیرممکن است. از این‌رو، استفاده از مدل شبیه‌سازی عددی همچون مدل هایدروس، که قادر به شبیه‌سازی حرکت املاح، گرما و رطوبت در شرایط اشباع و غیراشباع خاک است، می‌تواند مفید واقع شود (Hinnell et al., 2010). در سال‌های اخیر پژوهش‌گران مطالعاتی در جهت پیرامون توصیف توزیع جبهه رطوبتی انجام داده‌اند.

در این راستا، (2007) Lazarovitch et al. به بررسی الگوی توزیع زیرسطحی و سطحی رطوبت در آبیاری قطره‌ای به کمک تحلیل گشتاورها^۱ پرداخت. برای شبیه‌سازی از نرم‌افزار هایدروس در سه نوع متفاوت خاک شنی و لوم شنی و لوم استفاده شد. نتایج حاصل نشان داد تطابق خوبی بین مقادیر مشاهداتی و شبیه‌سازی وجود دارد. در ادامه، Samadianfard (2009) گسترش پیاز رطوبتی حاصل از شبیه‌سازی با نرم‌افزار هایدروس را با انجام آزمایش عملی بهوسیله قطره‌چکان منفرد، تأیید نمود. در مطالعه‌ای، (2009) Lazarovitch et al. با به کارگیری تحلیل گشتاور به بررسی توزیع آب زیرسطحی در جویچه‌ها پرداختند. در این روش داده‌های عددی برای سه نوع خاک لومی، لوم شنی و شن لومی مورد آزمایش قرار گرفت. آن‌ها بیان کردند که تحلیل گشتاور ابزار قدرتمندی در تکمیل شاخص‌های مدیریت آبیاری است و می‌تواند به عنوان یک روش کاربردی در شبیه‌سازی توزیع آب در خاک استفاده شود. در

² Root mean square error

³ Artificial neural network

¹ Moment analysis

روطوبتی بود. Raoof et al. (2022) در تحلیل حساسیت نرم‌افزار Haidroos نسبت به داده‌های ورودی در شبیه‌سازی حرکت آب گزارش کردند که مدل صحت بالایی در تخمین منحنی مشخصه آب خاک دارد. Etminan et al. (2023) با استفاده از روش DREAM به ارزیابی عدم قطعیت پارامترهای هیدرولیکی مدل هایدرووس پرداختند و چنین گزارش کردند که این الگوریتم بر پایه زنجیره مارکف، یک روش کارمند در مطالعه میزان تأثیرگذاری روش‌های مدیریتی و شرایط مختلف آزمایشگاهی در ارزیابی عدم قطعیت داده‌های ورودی مدل، پارامترهای هیدرولیکی خاک، ساختار مدل و میزان تأثیرگذاری آن‌ها در عملکرد مدل‌های هیدرولیکی است. در نهایت، Kumar et al. (2023) به مدل‌سازی اکوهیدرولوژیکی ابعاد الگوی خیس شده خاک تحت سامانه‌های آبیاری قطره‌ای با سه قطره‌چکان مختلف با ظرفیت‌های دو، چهار و شش لیتر در ساعت با استفاده از پنج رابطه تجربی در خاک لوم شنی پرداختند. آن‌ها گزارش کردند که مدل (Li et al. 2003) در پیش‌بینی ابعاد جبهه‌رطوبتی بهترین عملکرد را دارد. در مطالعه حاضر، علاوه‌بر بررسی تحرکات جبهه‌رطوبتی در انواع بافت خاک لحاظ شده در ریزبرنامه رزتا که در نرم‌افزار Haidroos تعریف شده است، تخمین ابعاد جبهه رطوبتی با استفاده از روش تحلیل گشتاور انجام خواهد شد. لذا هدف از این بررسی، شناخت نحوه حرکت پیاز رطوبتی و بررسی ابعاد آن در زیر سطح خاک در انواع مختلف بافت خاک تحت جریان‌های متفاوت و ارزیابی قابلیت روش تحلیل گشتاور در شبیه‌سازی این فرآیند در شرایط مختلف است.

۲- مواد و روش‌ها

۱- انجام آزمایش و شبیه‌سازی عددی جبهه رطوبتی
برای شبیه‌سازی پیاز رطوبتی در انواع بافت خاک، اطلاعات دقیقی از خصوصیات فیزیکی خاک، از جمله درصد ذرات تشکیل‌دهنده بافت خاک، چگالی ظاهری و واقعی خاک، تخلخل و هدایت هیدرولیکی اشباع مورد نیاز است. به منظور شبیه‌سازی عددی پیشروی جبهه رطوبتی، نرم‌افزار Haidroos استفاده شد. در این پژوهش شبیه‌سازی جبهه رطوبتی در انواع بافت خاک تعریف شده در نرم‌افزار Rzta^۳ که شامل ۱۲ نوع بافت خاک است، انجام شده است. در این آزمایش‌ها منبع تغذیه خاک، به صورت سطحی و نقطه‌ای در نظر گرفته شد. کل حجم تغذیه هر نوع بافت خاک ۲۴ لیتر است که این حجم، با دبی‌های مختلف دو، چهار، شش و هشت لیتر بر ساعت به کار برده شد. به بیان دیگر مدت زمان تغذیه با دبی دو لیتر بر ساعت به مدت ۱۲ ساعت است، تغذیه با

خاک منطقه در آزمایش پرداخته شد. سرانجام نتیجه نشان داد که نرم‌افزار Haidroos از صحت بالایی در شبیه‌سازی حرکت آب در خاک تحت شرایط مورد مطالعه برخوردار بود.

در مطالعه‌ای، Autovino et al. (2018) به بررسی میزان حجم خاک مرتبط شده تحت آبیاری قطره‌ای در یک خاک شنی لومی پرداختند. آن‌ها حجم خاک مرتبط را به عنوان تابعی از زمان آبیاری، شرایط اولیه خاک و دبی قطره‌چکان ارائه نمودند. نتایج مقایسه پتانسیل‌های پیش‌بینی شده و نتایج اندازه‌گیری شده بیان می‌کند که مدل هایدرووس می‌تواند به عنوان ابزار مناسی برای طراحی و مدیریت سامانه‌های آبیاری قطره‌ای زیرسطحی استفاده شود. نتایج پژوهش Shiri et al. (2020) که با استفاده از شبیه‌سازی ابعاد جبهه رطوبتی در آبیاری قطره‌ای با روش‌های برنامه‌ریزی بیان ژن و جنگل تصادفی^۱ (RF) نشان داد که با استثنایات جزئی، هر دو مدل GEP^۲ و RF توانایی خوبی در مدل‌سازی ابعاد جبهه رطوبتی در تمام تیمارهای انجام شده ارائه کردند. مدل‌سازی توزیع مجدد جبهه رطوبتی سامانه‌های آبیاری قطره‌ای با استفاده از سامانه عصبی فازی-طبقی بهمود یافته با الگوریتم ازدحام نیز توسط Kisi et al. (2021) مورد مطالعه قرار گرفت. کاربرد تحلیل گشتاور برای مدل‌سازی توزیع آب در خاک و در آبیاری جویچه‌ای توسط Kazemi et al. (2021) شد. آن‌ها اظهار داشتند که نتایج حاصل از تحلیل گشتاور می‌تواند به عنوان یک پایگاه بزرگ داده‌ای استفاده شود. بررسی‌های موجود نشان می‌دهد که روش تحلیل گشتاور برای انواع بافت خاک در آبیاری‌های قطره‌ای سطحی و زیرسطحی توسط پژوهش‌گران مورد بررسی قرار گرفته است و در این پژوهش دبی ورودی واحدی در آزمایش‌ها لحاظ شده و اثر تغییر شدت جریان ورودی روی توزیع رطوبت در خاک و عملکرد روش تحلیل گشتاور با لحاظ تغییرات دبی مورد ارزیابی قرار نگرفته است. در پژوهشی، Mosleimi et al. (2021) با استفاده از مدل تحلیل گشتاور به بررسی تحرکات جبهه رطوبتی در یک بافت مشخص با دبی کاربردی متفاوت پرداختند. نتایج حاصل از پژوهش ایشان نشان داد که تطابق خوبی بین روش گشتاور و مدل هایدرووس وجود داشته و می‌توان برای تغییرات فاصله پیاز رطوبتی نسبت به محور افقی و قائم، رابطه منحصر به فردی ارائه نمود. از طرفی مدل مذکور، میزان صحت تخمین قطر توزیع مجدد را در حالت عمودی و افقی بهمود می‌بخشد. همچنین، Karimi et al. (2022) توزیع مجدد رطوبتی آبیاری قطره‌ای را با استفاده از رویکردهای مبتنی بر رگرسیون بررسی کردند و نتایج حاکی از عملکرد مناسب رگرسیون غیرخطی در زمینه مدل‌سازی پیاز

¹ Random forest

² Gene expression programming

در این نرمافزار وارد کردن داده‌های مربوط به خاک، چند روش مجزا وجود دارد. در روش اول مقادیر هدایت هیدرولیکی، رطوبت اشیاع، رطوبت باقیمانده و پارامترهای شکل برای مدل‌های مختلف تعريف می‌شوند. در روش دوم بر اساس مشخص کردن درصد اجزاء تشکیل‌دهنده بافت خاک، یعنی میزان رس، سیلت و شن خصوصیات مربوط به هر بافت خاک تعريف می‌شوند که این کار به کمک شبکه عصبی تعريف شده در نرمافزار انجام می‌شود. روش سوم انتخاب کلاس بافت خاک است. در این روش ۱۲ نوع بافت خاک از پیش تعیین شده که حاصل پژوهش Carsel and Parrish (1998) است، در نرمافزار تعريف شده است. محدوده‌های هندسی رسم شده برای انواع بافت خاک در این مطالعه به شرح جدول ۱ است:

دبی چهار لیتر بر ساعت به مدت شش ساعت، دبی شش لیتر بر ساعت به مدت چهار ساعت و تغذیه با دبی هشت لیتر بر ساعت به مدت سه ساعت انجام شد. علت استفاده از دبی‌های مذکور، بررسی میزان تغییرات پیاز رطوبتی با استفاده از دبی‌های مختلف است و از طرفی باید کل حجم تغذیه در هر نوع بافت خاک یکسان باشد. لذا ۲۴ لیتر به عنوان کوچک‌ترین مضرب مشترک دبی‌های کاربردی در این مطالعه انتخاب شد. نحوه توزیع رطوبت در خاک و جبهه رطوبتی توسط نرمافزار هایدروس شبیه‌سازی شده و نتایج در بازه زمانی یک ساعت به ثبت رسید. از داده‌های استخراج شده توسط نرمافزار، برای محاسبه گشتاورها استفاده شد. صحت مدل حاصل از روش گشتاور بر مبنای نتایج حاصل از مدل هایدروس مورد ارزیابی قرار داده شد. برای انجام شبیه‌سازی

جدول ۱- انواع بافت خاک
Table 1- Types of soil texture

محدوده (سانتی‌متر)	بافت خاک	شماره	محدوده (سانتی‌متر)	بافت خاک	شماره
140*140	لوم شنی	7	140*140	رس	1
140*140	سیلت	8	140*140	لوم رسی	2
140*140	لوم رسی سیلتی	9	140*140	لوم رسی سیلتی	3
140*140	لوم سیلتی	10	220*220	شن	4
140*140	شن لوئی	11	220*220	رس شنی	5
140*140	رس سیلتی	12	140*140	لوم شنی رسی	6

۲-۱- شبیه‌سازی تحلیلی پیشروی جبهه رطوبتی
۲-۲- تحلیل گشتاور
برای محاسبه گشتاور مکانی دوبعدی الگوی خیس شده از رابطه زیر که توسط Yeh et al. (2005) تعريف شده است، استفاده می‌شود.

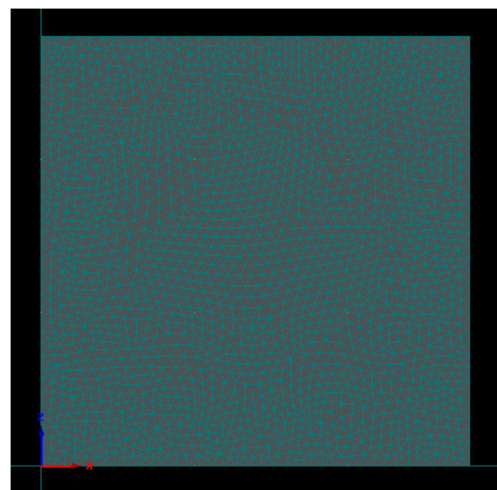
$$M_{ik}(t) = \int_{-\infty}^{\infty} \int_{-\infty}^{\infty} \theta_{diff}(x, z, t) x^i z^k dx dz \quad (1)$$

در رابطه بالا، $\theta(x, z, t)$ مقدار آب در یک زمان معین t و در یک مکان z و x است و $\theta_{diff}(x, z, t)$ مقدار اولیه آب است. گشتاورهای مکانی صفر، اول و دوم به ترتیب با $i+k=1$ مساوی با ۰/۱ یا دو دارد. گشتاور صفر^۱ M_{00} کل حجم آب است که به مکان مورد نظر اعمال می‌شود. گشتاور اول^۲ M_{01} و مرکز مکان مورد نظر است که فاصله را نشان می‌دهد و گشتاور درجه دو^۳ M_{20} مربوط به میزان پخش شدگی و گسترش آب در موقعیت متوسط آن است. رابطه مورد استفاده برای محاسبه مرکز جرم در خاک به حالت دوبعدی به صورت زیر است:

$$x_c = \frac{M_{10}}{M_{00}}, \quad z_c = \frac{M_{01}}{M_{00}} \quad (2)$$

در رابطه فوق، x_c فاصله مرکز جرم در محور x ، z_c فاصله مرکز جرم در محور z است. برای محاسبه واریانس مکانی در حالت

شكل ۱ الگوی شبکه استفاده شده در نرمافزار هایدروس را نشان می‌دهد. لازم به ذکر است که شرط اولیه، مقدار رطوبت حجمی و شرط مرزی به صورت شار ثابت در محل قطره‌چکان و شرط زهکشی آزاد در مرز پایینی محدوده انتخاب شده است.



شكل ۱- الگوی شبکه استفاده شده در نرمافزار هایدروس
Figure 1- Network template used in Hydrus software

^۱ Zero moments

^۲ First moments

^۳ Second moments

یک ضریب k استفاده می‌شود که مقدار مناسب آن به واسطه حداقل‌سازی اختلاف بین مدل و نتایج هایدرووس، از رابطه (۵) تعیین شده است.

$$\frac{\sum M}{\sum M_{00}} \cong 1 \quad (5)$$

در روابط فوق x و z مختصات مکان مورد نظر بوده و k^2 ضریب است، M مقدار کل حجم آب در داخل بیضی رسم شده است، M_{00} مقدار کل حجم آب موجود در منطقه مورد نظر در هر بازه زمانی است. هر چه مقدار محاسبه شده برای رابطه (۵) نزدیک به یک باشد، بیان‌گر مقدار مناسب ضریب k و انتطبق مناسب بیضی رسم شده با جبهه رطوبتی شبیه‌سازی شده است.

۳- نتایج و بحث

۳-۱- نتایج حاصل از شبیه‌سازی انواع بافت خاک
با انتخاب هر یک از بافت‌های خاک تعیین شده در نرمافزار رزتا، شبیه‌سازی جبهه رطوبتی حاصل از دبی‌های مشخص انجام شده است. محدوده شبیه‌سازی شده در نرمافزار هایدرووس برای انواع بافت خاک‌ها با کاربرد دبی‌های دو، چهار، شش و هشت لیتر بر ساعت با حجم تغذیه ۲۴ لیتر و رطوبت اولیه مشخصی یعنی θ_0 مساوی با ۰/۱ انجام شد. نتایج شبیه‌سازی محدوده مرطوب برای ساعات ابتدایی و انتهایی شبیه‌سازی برای دبی دو لیتر بر ساعت به عنوان نمونه برای خاک با بافت شن در شکل ۲ ارائه شده است.

دوبعدی در جهت‌های x و z به صورت زیر است (Radcliffe and Šimunek, 2010):

$$\sigma_x^2 = \frac{M_{20}}{M_{00}} - x_c^2, \quad \sigma_z^2 = \frac{M_{02}}{M_{00}} - z_c^2 \quad (3)$$

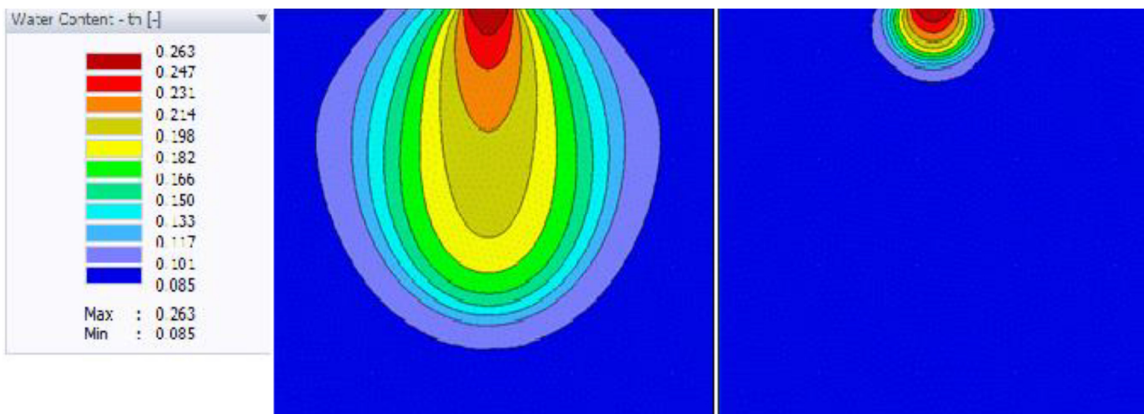
در این پژوهش هدف از برنامه‌نویسی تقسیم محدوده مورد نظر به قسمت‌های مساوی و پیدا کردن مختصات مرکز هر قسمت و مقدار رطوبت نزدیک‌ترین گره به مرکز هر قسمت است تا به این طریق گشتاورها محاسبه شود. با استفاده از برنامه‌نویسی محدود به مریع‌های چهار در چهار سانتی‌متر تقسیم شد، در هر محور ۲۶ مریع ایجاد شد و در نهایت برنامه مورد نظر اجرا شد.

۳-۲- رسم بیضی حاصل از محاسبات گشتاور

بیضی‌ها بر اساس خروجی‌های حاصل از مدل تحلیل گشتاورها در نرمافزار اکسل رسم شده است که هر کدام از این بیضی‌ها دارای عمق و عرض هستند. لذا عمق و عرض حاصل از این بیضی‌ها با عمق و عرض حاصل از مدل هایدرووس (به عنوان مدل مبنی) مورد مقایسه قرار گرفت. رابطه بیضی در حالت کلی به این قرار است:

$$\frac{(x - x_c)^2}{(k^2 \sigma_x^2)} + \frac{(z - z_c)^2}{(k^2 \sigma_z^2)} \leq 1 \quad (4)$$

یکی از اهداف مطالعه حاضر رسم بیضی در زمان‌های متفاوت و با کاربرد دبی‌های مختلف است که این بیضی منطبق بر پیاز رطوبتی حاصل از مدل هایدرووس است. در رسم بیضی از



شکل ۲- نتایج شبیه‌سازی محدوده مرطوب شده برای دبی دو لیتر بر ساعت
Figure 2- Simulation results of the moistened area for the beginning and end hours at a flow rate of two L hr⁻¹

بررسی‌های حاصل از شبیه‌سازی در انواع بافت خاک نشان می‌دهد حرکت و رفتار جبهه رطوبتی در انواع بافت خاک با توجه به ذرات تشکیل‌دهنده آن‌ها متفاوت است. همچنین، میزان دبی ورودی به خاک در رفتار پیاز رطوبتی تأثیر گذار است. نتایج حاصل از شبیه‌سازی در شکل ۲ نشان می‌دهد که مقدار رطوبت حجمی اولیه ۱۰۰٪ و مقدار رطوبت حجمی در حالت اشیاع

۳-۲- بررسی نتایج تحلیل گشتاورها
به منظور محاسبه گشتاورها، اولین قدم به دست آوردن مقادیر M_{00} است. جدول ۲ مقادیر M_{00} محاسبه شده را نشان می‌دهد. با

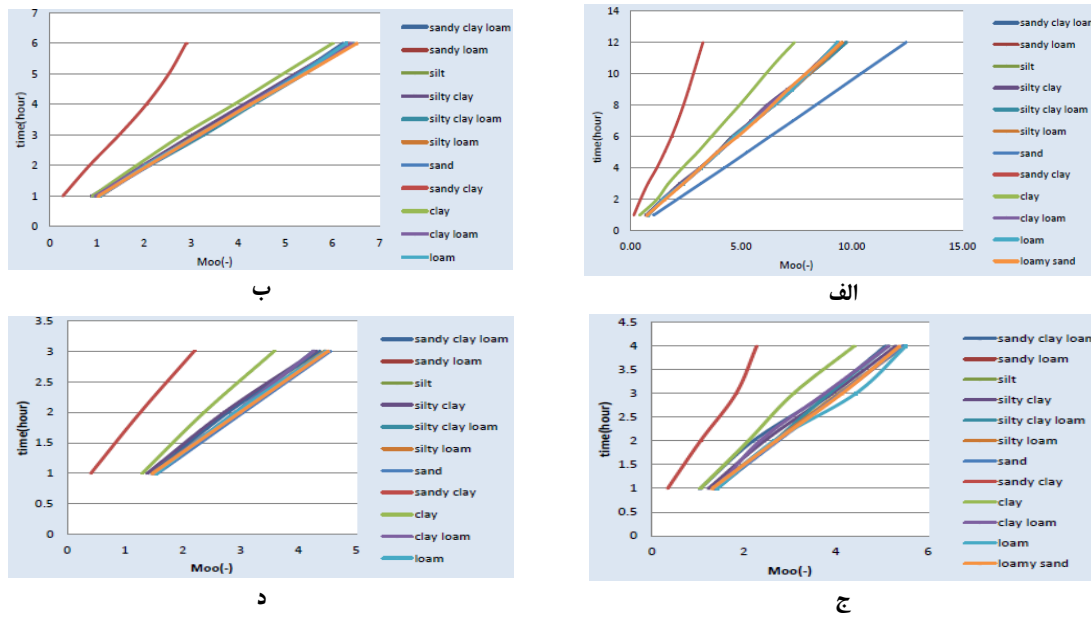
در دبی کم میزان آب توزیع شده بیشتر برآورد شده است. عملکرد ضعیف مدل هایدرووس در شرایط فوق الذکر قابل تفسیر و بیان بوده و خارج از محدوده پژوهش حاضر است. توجه به این نکته ضروری است که در مدل تحلیل گشتاورها، خروجی مدل هایدرووس شیوه‌سازی شده و دقت ذاتی آن مرتبط با دقت مدل هایدرووس است. لذا، دقت و عملکرد مدل تحلیل گشتاورها در مباحث بعدی مورد ارزیابی قرار گرفته است.

با توجه به شکل ۳ می‌توان دریافت که در خاک رس شنی به دلیل نفوذ پذیری بسیار کم و پایین بودن هدایت هیدرولیکی اشیاع، نسبت به سایر بافت‌ها، میزان توزیع رطوبت در زیر سطح خاک کمتر بوده و احتمال تشکیل رواناب در سطح خاک با افزایش زمان آبیاری وجود دارد. قدم بعدی مقایسه مقادیر Z مرکز جرم رطوبت در محدوده پیاز رطوبتی، در گام‌های زمانی مختلف در انواع بافت خاک و تحت دبی‌های متفاوت است (جدول ۳).

توجه به نتایج مندرج در جدول ۲، مقایسه توزیع رطوبت در تمام بازه‌های زمانی و در تمام بافت خاک‌ها مورد قبول بوده و مقادیر رطوبت زیرسطحی توزیع یافته مشابه‌اند. برای بررسی بهتر، مقادیر رطوبت برای هر دبی در هر بازه زمانی در شکل ۳ ارائه شده است. مطابق منحنی‌های ارائه شده در این شکل، خطوط مربوط به میزان آب توزیع شده به ازای زمان در تمام بافت‌های خاک برای هر دبی کاربردی تقریباً روی هم منطبق هستند و نشان‌گر این است که در زمان مورد نظر جرم آب مشخصی در خاک توزیع شده است. البته به لحاظ فیزیک موضوع، این امر کاملاً بدیهی است ولی چند خط در شکل‌ها دیده می‌شوند که از این امر مستثنی هستند و بیان‌گر آن است که مدل هایدرووس نتوانسته است این موارد را به خوبی شیوه‌سازی کند که به اختصار ذکر می‌شوند. در تمام دبی‌های به کار برده شده در بافت رس شنی (دانه ریز)، حجم آب توزیع شده از شیوه‌سازی کمتر حاصل شده است. این پدیده با شدت کمتر برای خاک رسی در دبی‌های بیشتر قابل ملاحظه است، در صورتی که در بافت درشت شنی

جدول ۲- مقادیر M_{00} (سانتی‌متر) برای دبی‌های کاربردی دو، چهار، شش و هشت لیتر بر ساعتTable 2- M_{00} (cm) values for applied flow rates of two, four, six, and eight $L \text{ hr}^{-1}$

دبی دو لیتر بر ساعت	دبی چهار لیتر بر ساعت	دبی شش لیتر بر ساعت	دبی هشت لیتر بر ساعت	ساعت/بافت	شن لومی	لوم لومی	لوم رسی	رس شنی	رس شنی	لوم رسی	رس شنی	لوم شنی	رس سیلتی	رس سیلتی	لوم سیلتی	رس سیلتی	دبی دو لیتر بر ساعت
0.81	0.81	0.75	0.69	0.74	0.76	1.05	0.15	0.42	0.78	0.81	0.75	1					
1.43	1.50	1.51	1.44	1.47	1.51	2.10	0.45	1.19	1.44	1.47	1.56	2					
2.32	2.37	2.34	2.21	2.31	2.35	3.16	0.78	1.71	2.32	2.37	2.38	3					
3.15	3.19	3.15	3.12	3.17	3.16	4.23	1.18	2.34	3.20	3.18	3.16	4					
3.92	3.92	3.94	3.91	3.97	3.95	5.26	1.53	3.03	3.98	3.98	3.92	5					
4.59	4.66	4.72	4.70	4.77	4.72	6.29	1.85	3.66	4.78	4.68	4.83	6					
5.50	5.63	5.61	5.43	5.52	5.61	7.34	2.14	4.28	5.48	5.55	5.65	7					
6.50	6.46	6.47	6.16	6.29	6.49	8.36	2.39	4.92	6.24	6.50	6.40	8					
7.33	7.23	7.28	7.08	7.19	7.30	9.38	2.62	5.52	7.13	7.29	7.12	9					
8.07	7.93	8.07	8.05	8.11	8.08	10.40	2.84	6.11	7.96	8.01	7.92	10					
8.75	8.66	8.83	8.95	8.96	8.85	11.42	3.05	6.74	8.70	8.68	8.76	11					
9.42	9.39	9.56	9.74	9.76	9.58	12.45	3.27	7.41	9.35	9.34	9.52	12					
1.04	1.08	1.02	0.89	0.95	1.03	1.05	0.28	0.91	0.97	1.07	1.03	1					
1.99	2.07	2.04	1.97	2.12	2.05	2.11	0.84	1.84	2.00	2.05	2.09	2					
3.11	3.15	3.12	3.03	3.27	3.14	3.17	1.47	2.81	3.19	3.16	3.17	3					
4.22	4.29	4.26	4.12	4.33	4.27	4.23	2.05	3.91	4.21	4.28	4.26	4					
5.26	5.22	5.29	5.21	5.41	5.29	5.27	2.53	4.95	5.38	5.33	5.41	5					
6.22	6.35	6.31	6.31	6.45	6.32	6.27	2.90	6.00	6.40	6.29	6.52	6					
1.05	1.40	1.32	1.24	1.42	1.34	1.38	0.35	1.05	1.42	1.43	1.31	1					
2.20	2.69	2.66	2.45	2.66	2.67	2.74	1.06	2.09	2.66	2.65	2.70	2					
3.79	4.11	4.06	3.92	3.85	4.07	4.10	1.83	3.08	3.85	4.10	4.13	3					
5.08	5.44	5.47	5.30	5.13	5.48	5.45	2.53	4.39	5.13	5.52	5.38	4					
1.47	1.54	1.47	1.38	1.49	1.49	1.56	0.41	1.29	1.47	1.55	1.47	1					
2.78	2.96	2.93	2.71	2.91	2.93	3.05	1.26	2.37	2.80	2.91	2.99	2					
4.37	4.46	4.45	4.30	4.26	4.46	4.55	2.19	3.58	4.54	4.48	4.51	3					



شکل ۳- مقایسه مقادیر M_{00} (سانتی‌متر) نسبت به زمان با دبی‌های کاربردی دو (الف)، چهار (ب)، شش (ج) و هشت (د) لیتر بر ساعت
Figure 3 - Comparison of M_{00} values (centimeters) over time with applied flow rates of two (a), four (b), six (c), and eight (d) $L \text{ hr}^{-1}$

جدول ۳- مقادیر Z_c (سانتی‌متر) برای دبی‌های کاربردی دو، چهار، شش و هشت لیتر بر ساعت

Table 3- Z_c values for applied flow rates of two, four, six, and eight $L \text{ hr}^{-1}$

ساعت/ بافت	شن	لومی	لوم	رس	رس	شن	لوم	رسی	رسی	لوم	لومی	لوم شنی	لوم شنی	سیلت	رسی	لوم رسی	لوم رسی	دبی دو لیتر بر ساعت
1	-5.60	-5.56	-5.56	-5.55	-5.55	-10.78	-3.24	-5.50	-5.56	-5.56	-5.60	-5.56	-5.56	-7.80	-7.55	-6.11	-6.20	-7.58
2	-8.54	-6.29	-6.29	-5.59	-5.59	-17.53	-3.54	-6.29	-7.34	-7.34	-8.54	-7.34	-7.34	-9.75	-9.09	-8.39	-8.31	-9.18
3	-10.66	-8.85	-8.85	-9.29	-9.29	-23.24	-3.71	-6.34	-9.29	-9.29	-10.66	-9.29	-9.29	-9.75	-9.09	-8.39	-8.31	-9.18
4	-12.51	-10.08	-10.08	-10.97	-10.97	-28.69	-3.97	-7.78	-10.08	-10.08	-12.51	-10.08	-10.08	-11.76	-11.92	-11.03	-10.85	-12.05
5	-14.14	-11.44	-11.44	-12.40	-12.40	-33.64	-4.10	-9.03	-11.44	-11.44	-14.14	-11.44	-11.44	-13.62	-14.51	-12.89	-12.21	-11.98
6	-16.16	-12.62	-12.62	-13.27	-13.27	-38.48	-4.19	-10.12	-12.62	-12.62	-16.16	-12.62	-12.62	-15.33	-16.46	-14.31	-13.08	-12.78
7	-17.62	-14.67	-14.67	-14.67	-14.67	-43.29	-4.29	-11.15	-13.36	-13.36	-17.62	-13.36	-13.36	-16.94	-17.67	-15.46	-13.85	-13.58
8	-18.84	-16.18	-16.18	-16.18	-16.18	-47.77	-4.45	-12.09	-14.21	-14.21	-18.84	-14.21	-14.21	-18.02	-18.80	-16.40	-15.10	-14.78
9	-20.06	-17.19	-17.19	-17.19	-17.19	-52.13	-4.67	-12.83	-15.38	-15.38	-20.06	-15.38	-15.38	-18.97	-19.77	-17.22	-16.36	-15.90
10	-21.66	-18.05	-18.05	-18.05	-18.05	-56.46	-4.96	-13.56	-16.37	-16.37	-21.66	-16.37	-16.37	-19.77	-20.94	-17.92	-17.34	-16.76
11	-23.31	-18.78	-18.78	-18.78	-18.78	-60.75	-5.36	-14.46	-17.11	-17.11	-23.31	-17.11	-17.11	-20.56	-22.08	-18.59	-18.13	-17.49
12	-24.64	-19.45	-19.45	-19.45	-19.45	-64.96	-5.79	-15.48	-17.65	-17.65	-24.64	-17.65	-17.65	دبی چهار لیتر بر ساعت	-5.37	-5.35	-5.39	-5.37
1	-5.40	-5.39	-5.39	-5.38	-5.38	-8.86	-3.37	-5.39	-5.39	-5.40	-8.25	-5.39	-5.39	-7.10	-7.44	-7.21	-5.80	-5.86
2	-8.25	-6.01	-6.01	-6.01	-6.01	-14.98	-3.87	-6.01	-7.01	-7.01	-9.55	-7.01	-7.01	-9.55	-9.80	-9.13	-8.06	-7.93
3	-10.81	-9.33	-9.33	-9.33	-9.33	-20.60	-4.13	-7.78	-8.60	-8.60	-11.79	-9.33	-9.33	-11.79	-12.17	-11.02	-9.83	-9.58
4	-12.93	-11.45	-11.45	-11.45	-11.45	-25.84	-4.28	-9.64	-10.28	-10.28	-13.29	-10.28	-10.28	-13.29	-13.60	-12.32	-11.48	-11.22
5	-15.32	-12.98	-12.98	-12.98	-12.98	-30.75	-4.42	-11.26	-12.05	-12.05	-14.96	-12.05	-12.05	-14.96	-15.95	-13.70	-12.83	-12.53
6	-14.38	-13.24	-13.24	-13.24	-13.24	-35.38	-4.67	-12.64	-13.24	-13.24	دبی شش لیتر بر ساعت	-5.38	-5.38	-5.35	-5.39	-5.37	-5.37	-5.37
1	-5.40	-5.39	-5.39	-5.38	-5.38	-8.86	-3.37	-5.39	-5.39	-5.40	-8.25	-5.39	-5.39	-7.10	-7.44	-7.21	-5.80	-5.86
2	-8.25	-6.01	-6.01	-6.01	-6.01	-14.98	-3.87	-6.01	-7.01	-7.01	-9.55	-7.01	-7.01	-9.55	-9.80	-9.13	-8.06	-7.93
3	-10.81	-9.33	-9.33	-9.33	-9.33	-20.60	-4.13	-7.78	-8.60	-8.60	-11.79	-9.33	-9.33	-11.79	-12.17	-11.02	-9.83	-9.58
4	-12.93	-11.45	-11.45	-11.45	-11.45	-25.84	-4.28	-9.64	-10.28	-10.28	-14.96	-10.28	-10.28	-14.96	-15.95	-13.70	-12.83	-12.53
5	-15.32	-12.98	-12.98	-12.98	-12.98	-30.75	-4.42	-11.26	-12.05	-12.05	دبی هشت لیتر بر ساعت	-5.35	-5.25	-5.27	-5.19	-5.19	-5.27	-5.27
1	-5.40	-5.39	-5.39	-5.38	-5.38	-9.14	-3.46	-5.22	-5.24	-5.40	-8.25	-5.39	-5.39	-7.06	-8.17	-9.13	-6.06	-6.02
2	-8.25	-6.07	-6.07	-6.07	-6.07	-15.89	-4.01	-5.38	-6.07	-7.76	-9.67	-7.76	-7.76	-9.67	-10.91	-11.45	-8.88	-8.71
3	-10.31	-11.79	-11.79	-11.79	-11.79	-22.04	-4.28	-6.98	-9.04	-10.31	-11.79	-11.79	-11.79	-12.12	-13.18	-13.23	-10.79	-10.86
4	-13.99	-12.63	-12.63	-12.63	-12.63	-27.84	-4.44	-9.14	-11.36	-12.63	-13.99	-13.99	-13.99	دبی هشت لیتر بر ساعت	-5.14	-5.18	-5.20	-5.09
1	-5.40	-5.39	-5.39	-5.38	-5.38	-8.63	-3.53	-5.05	-5.10	-5.16	-4.51	-4.51	-4.51	-7.34	-7.82	-7.52	-5.77	-5.86
2	-8.25	-7.76	-7.76	-7.76	-7.76	-15.37	-4.08	-5.44	-6.14	-7.36	-2.99	-2.99	-2.99	-10.18	-10.43	-9.50	-8.57	-8.52
3	-11.79	-12.63	-12.63	-12.63	-12.63	-21.61	-4.34	-7.36	-9.20	-9.99	-4.51	-4.51	-4.51	دبی هشت لیتر بر ساعت	-5.14	-5.18	-5.20	-5.09

به هر بافت خاک، میزان نفوذ عمقی و پیشروی رطوبت تقریباً ثابت می‌ماند. با توجه به داده‌های ثبت شده در این پژوهش، مدت زمان فرآیند آبیاری با یک حجم مشخص برای تغذیه اراضی با میزان نفوذ عمقی رابطه مستقیم دارد. یعنی با کاربرد دبی کمتری برای تغذیه زمین با مدت زمان بیشتر آبیاری، این فرصت به

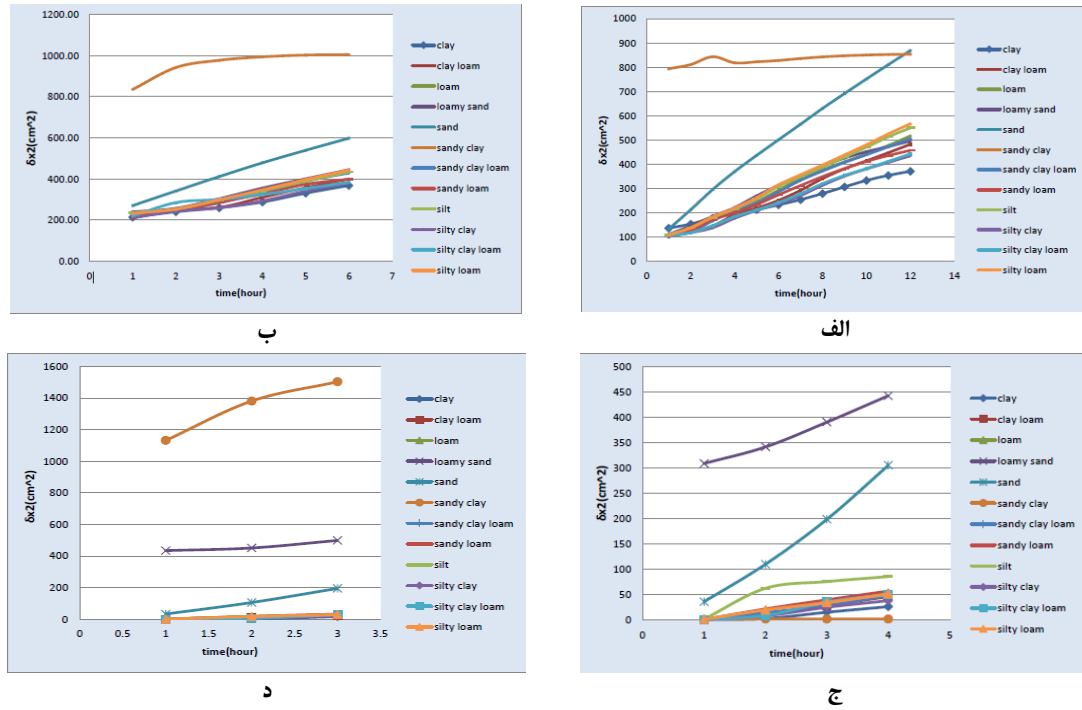
بررسی مقادیر حاصل Z_c به خوبی حرکت جریان آب از سطح خاک به قسمت عمقی را نشان می‌دهد. یعنی با گذشت زمان از شروع فرآیند آبیاری فرآیند نفوذ شروع شده و ادامه می‌یابد. شدت این فرآیند در ابتدای آبیاری زیاد است اما با گذشت زمان از شب شدت نفوذ کاسته می‌شود و حتی بعد از مدت زمان متفاوت نسبت

آبیاری مقادیر σ_{X^2} شب صحده دارد. همچنین، با افزایش میزان دبی ورودی، بازه تغییرات واریانس کوچکتر، اما مقادیر واریانس بیشتر می‌شود، بیشترین مقدار واریانس مربوط به خاک رس شنی با دبی کاربردی هشت لیتر بر ساعت با مقدار $150\frac{3}{3}$ سانتی‌متر مربع بوده و کمترین مقدار مربوط به بافت رس با دبی کاربردی چهار لیتر بر ساعت با مقدار $214\frac{4}{4}$ سانتی‌متر مربع است. به دلیل بیشتر بودن زمان آبیاری در دبی کاربردی دو لیتر بر ساعت، مقادیر به دست آمده واریانس بیشتر شده و کمترین مقدار در کاربرد دبی چهار لیتر بر ساعت به دست آمده است از این‌رو، مشخص می‌شود که تأثیر مدت زمان آبیاری، نسبت به شدت دبی، بر مقادیر واریانس بیشتر است (شکل ۴). علاوه‌بر این، جدول ۵ مقادیر σ_{Z^2} انواع بافت خاک با دبی‌های مختلف نشان می‌دهد.

رطوبت توزیع شده داده می‌شود که نفوذ پیش‌تری در خاک داشته باشد. در این پژوهش، پس از ۲۴ ساعت و اتمام تقدیمه خاک‌ها، بیشترین میزان نفوذ عمقی صورت گرفته مربوط به بافت شنی، با کاربرد متفاوت دبی دو، چهار، شش و هشت لیتر بر ساعت به ترتیب $64\frac{4}{95}$ ، $35\frac{3}{38}$ ، $27\frac{8}{84}$ و $21\frac{6}{61}$ سانتی‌متر بود. همچنین، کمترین میزان نفوذ عمقی مربوط به بافت رس شنی بود. در مرحله بعد برای محاسبه گشتاورها واریانس مکانی نسبت به محور Z و محور X به دست آورده شد. در واقع مقادیر σ_{X^2} و σ_{Z^2} به ترتیب نشان‌دهنده گسترش عمقی و افقی پیاز رطوبتی هستند که با استفاده از مقادیر M_{00} و Z_c به دست آمده، برآورد مقادیر σ_{X^2} و σ_{Z^2} انجام شد که در جدول ۴ قابل مشاهده است. با افزایش مدت زمان آبیاری مقادیر σ_{X^2} و σ_{Z^2} دچار تغییر می‌شود (جدول ۴). یعنی در حالت کلی با گذشت زمان از شروع فرآیند

جدول ۴- مقادیر σ_x^2 (سانتی‌مترمربع) برای دبی‌های کاربردی دو، چهار، شش و هشت لیتر بر ساعتTable 4- Values of σ_x^2 (cm^2) for applied flow rates of two, four, six, and eight L hr^{-1}

ساعت/ بافت	شن لومی	لوم	لوم رسی	رس	لوم رسی	لوم	رس شنی	رس شنی	رس	لوم	لوم شنی	لوم رسی	سیلت	رس سیلتی	رس سیلتی	لوم سیلتی	سیلتی	لوم شنی	لوم شنی	دبی دو لیتر بر ساعت		
1	112.03	107.85	103.88	793.91	137.59	100.68	209.62	222.56	209.62	209.62	126.50	147.22	2	127.55	119.01	119.06	138.75	213.58	811.21	154.49	120.17	
2	186.35	175.30	147.28	178.74	196.08	192.29	220.44	246.88	220.44	220.44	147.22	164.95	3	168.26	181.90	139.37	148.11	183.73	296.71	843.70	134.03	
3	314.22	294.50	252.34	233.36	214.00	220.29	246.88	270.66	246.88	246.88	222.56	240.50	4	208.76	217.25	178.55	184.99	219.71	370.63	818.54	234.56	
4	354.42	343.85	341.67	279.96	279.96	307.44	381.92	426.25	381.92	381.92	222.56	287.33	5	240.50	259.38	210.34	212.59	263.15	437.24	822.64	275.04	
5	452.49	443.40	415.03	333.97	333.97	401.03	443.40	452.49	443.40	443.40	222.56	334.54	6	334.54	350.46	271.83	279.57	357.52	565.57	836.28	313.16	
6	392.36	378.66	341.67	279.96	279.96	381.92	411.15	426.25	381.92	381.92	222.56	372.58	7	372.58	390.05	314.04	320.79	397.68	630.54	843.02	350.19	
7	426.25	411.15	381.92	307.44	307.44	443.40	452.49	452.49	443.40	443.40	222.56	408.05	8	408.05	430.09	351.63	354.83	439.16	691.79	847.72	383.39	
8	452.49	443.40	415.03	333.97	333.97	443.40	452.49	452.49	443.40	443.40	222.56	439.78	10	439.78	471.02	381.58	383.04	481.16	751.88	850.73	412.88	
9	473.77	478.38	448.52	354.85	354.85	448.52	478.38	478.38	448.52	448.52	222.56	472.41	11	472.41	514.09	408.65	413.21	526.16	811.06	852.94	436.91	
10	496.95	496.95	483.14	371.76	371.76	400.65	435.89	445.26	400.65	400.65	222.56	505.51	12	505.51	550.88	435.62	443.27	567.51	868.91	854.10	458.21	
دبی چهار لیتر بر ساعت																						
1	239.99	221.29	209.69	214.41	214.41	240.85	254.11	250.91	250.91	250.91	257.72	2	215.05	1.08	1.02	211.87	220.74	233.35	270.78	836.49	220.74	
2	304.01	289.09	260.41	262.11	262.11	288.19	310.96	340.57	340.57	340.57	355.87	3	250.20	2.07	2.04	244.43	285.48	253.56	341.88	942.57	285.48	
3	340.57	340.57	358.20	358.20	358.20	386.44	401.03	401.03	401.03	401.03	401.03	4	283.69	3.15	3.12	260.16	300.88	299.47	412.08	977.61	300.88	
4	355.87	355.87	389.24	389.24	389.24	400.65	435.89	445.26	445.26	445.26	445.26	5	337.55	4.29	4.26	293.63	324.53	347.71	479.04	994.30	353.71	
5	401.03	401.03	422.29	422.29	422.29	444.01	445.26	445.26	445.26	445.26	445.26	6	390.71	5.22	5.29	341.48	353.71	397.35	540.21	100.79	331.14	
6	445.26	445.26	473.77	473.77	473.77	488.88	496.95	496.95	496.95	496.95	496.95	7	435.05	6.35	6.31	380.53	384.52	444.01	1005.19	368.46	400.65	
دبی شش لیتر بر ساعت																						
1	308.80	289.84	289.84	317.77	317.77	322.62	322.62	323.04	323.04	323.04	341.46	2	245.97	291.43	302.01	308.55	342.83	299.14	366.09	381.77	292.96	
2	390.40	388.32	388.32	399.76	399.76	399.76	399.76	401.03	401.03	401.03	414.66	3	332.42	321.54	403.57	314.27	366.29	332.62	431.25	378.54	322.62	
3	400.65	400.65	437.75	437.75	437.75	442.29	442.29	442.29	442.29	442.29	442.29	4	412.81	379.04	467.43	340.02	391.87	389.10	506.75	1125.79	368.95	
4	442.63	442.63	442.63	457.75	457.75	457.75	457.75	458.95	458.95	458.95	458.95	5	440.88	422.70	500.82	399.91	429.16	440.77	576.01	1187.01	424.29	
دبی هشت لیتر بر ساعت																						
1	434.19	434.19	434.19	467.70	467.70	471.65	471.65	471.65	471.65	471.65	471.65	2	384.24	407.01	426.15	390.77	431.33	422.24	515.44	1131.52	467.70	381.96
2	451.07	451.07	451.07	495.37	495.37	495.37	495.37	495.37	495.37	495.37	495.37	3	443.97	438.13	441.30	430.58	458.69	441.42	570.75	1380.90	449.15	442.57
3	498.95	498.95	498.95	495.37	495.37	495.37	495.37	495.37	495.37	495.37	495.37	4	483.58	484.57	500.20	449.94	484.18	502.66	641.04	1503.30	495.37	489.61



شکل ۴- مقایسه مقادیر σ_z^2 (cm²) در انواع بافت خاک با دبی‌های کاربردی دو (الف)، چهار (ب)، شش (ج) و هشت (د) لیتر بر ساعت
Figure 4- Comparison of σ_z^2 (cm²) values in different types of soil texture with the mentioned applied flow rates two (a), four (b), six (c), and eight (d) L hr⁻¹

جدول ۵- مقادیر σ_z^2 (سانانی‌متر) برای دبی‌های کاربردی دو، چهار، شش و هشت لیتر بر ساعت

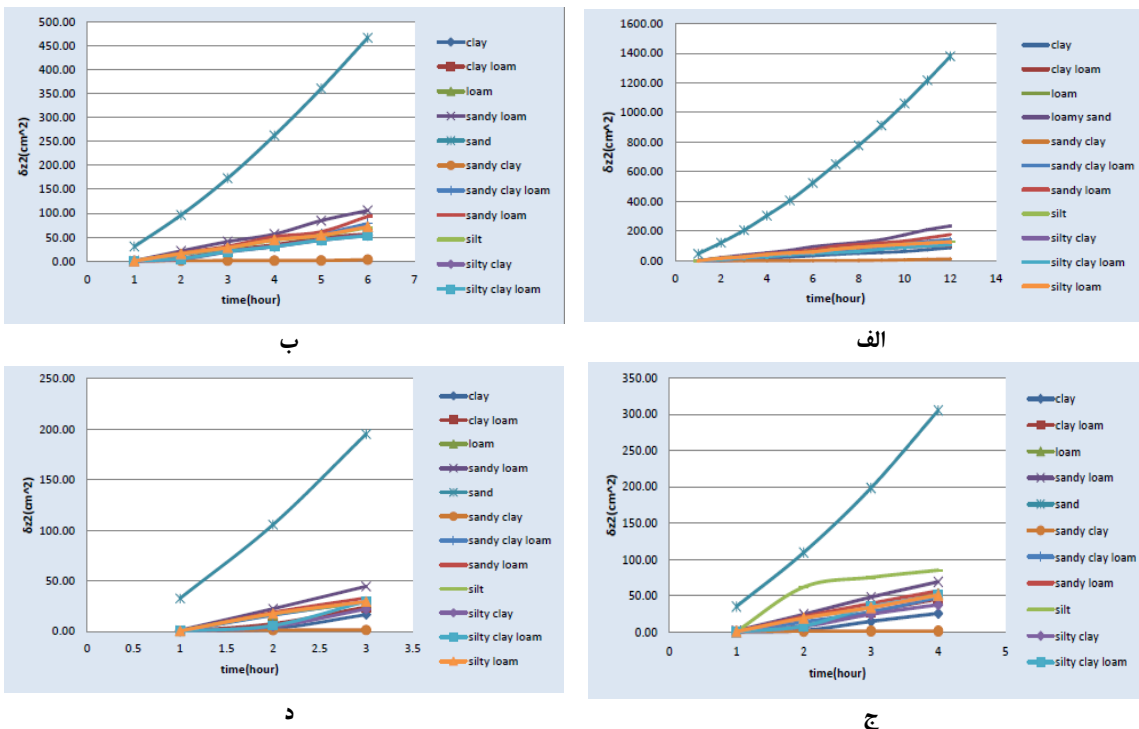
Table 5- Values of σ_z^2 (cm²) for applied flow rates of two, four, six, and eight L hr⁻¹

دبی دو لیتر بر ساعت	دبی چهار لیتر بر ساعت	دبی شش لیتر بر ساعت	دبی هشت لیتر بر ساعت	ساعت/ بافت
0.21	0.32	0.32	0.32	1
15.14	14.69	14.06	14.03	2
25.73	28.40	27.62	27.57	3
42.64	47.35	41.15	41.14	4
55.22	50.99	51.20	51.20	5
60.97	61.55	59.50	59.50	6
83.92	93.50	77.22	77.22	7
101.44	109.59	90.57	90.57	8
110.73	121.34	100.87	100.87	9
120.97	133.37	110.45	110.45	10
131.30	154.42	118.54	118.54	11
144.17	176.62	127.31	127.31	12
0.32	0.32	0.32	0.32	1
14.69	16.85	15.55	15.55	2
28.40	31.18	27.73	27.73	3
47.35	50.99	43.75	43.75	4
57.28	61.55	53.54	53.54	5
78.49	93.50	70.28	70.28	6
0.32	0.53	0.90	0.90	1
14.06	21.33	61.91	7.55	2
27.62	39.42	75.27	24.48	3
48.03	56.72	85.14	37.65	4
0.43	0.46	0.63	0.43	1
16.17	18.88	17.35	4.97	2
29.65	33.27	28.77	22.15	3

آبیاری ۱۲ ساعت به انجام رسیده است. همچنین، کمترین مقدار مربوط به بافت رس شنی با مقدار $1/45$ سانتی‌متر مربع بوده که شبیه‌سازی با دبی کاربردی شش لیتر بر ساعت و با مدت زمان آبیاری چهار ساعت به انجام رسیده است.

شکل ۵ تغییرات σ_{z2} را نسبت به زمان در انواع مختلف بافت‌های خاک نشان می‌دهد. همان‌طور که در شکل ۵ مشاهده می‌شود بیشترین تغییرات σ_{z2} نسبت به زمان در خاک با بافت شنی است و کمترین تغییرات مربوط به خاک با بافت رس شنی است.

با توجه به نتایج جدول ۵ و بررسی محاسبات انجام یافته، می‌توان چنین نتیجه گرفت که با تغییر دبی کاربردی در انواع بافت خاک، مقادیر σ_{z2} با تغییر مواجه می‌شوند. به بیان دیگر با افزایش میزان دبی کاربردی، σ_{z2} افزایش یافته و شبیه‌سازی در هر بافت خاک با توجه به خصوصیات آن بافت متفاوت است. همچنین، تأثیر مدت زمان آبیاری در مقدار σ_{z2} مشهود است. به بیان دیگر هر چه مدت زمان آبیاری بیشتر باشد مقدار واریانس دچار تغییر بیشتری می‌شود. با توجه به مقادیر به دست آمده بیشترین مقدار σ_{z2} مربوط به بافت شنی که برابر با $1378/8$ سانتی‌متر مربع است که شبیه‌سازی با دبی کاربردی دو لیتر بر ساعت و مدت زمان



شکل ۵- مقایسه مقادیر σ_z^2 (cm²) در انواع بافت خاک با دبی‌های کاربردی دو (الف)، چهار (ب)، شش (ج) و هشت (د) لیتر بر ساعت
Figure 5- Comparison of σ_z^2 (cm²) values in different types of soil texture with applied discharges two (a), four (b), six (c), and eight (d) L hr⁻¹

۳-۴- مقایسه ابعاد جبهه رطوبتی شبیه‌سازی شده توسط نرم‌افزار هایدرووس با بیضی حاصل از محاسبات گشتاورها همان‌طور که مشاهده می‌شود به دلیل متفاوت بودن مقدار رطوبت اعمال شده به منطقه مورد نظر در زمان بندی مختلف، مقدار σ_x^2 ، σ_z^2 متفاوت بوده و باعث ایجاد تغییر در اندازه بیضی‌ها در دبی‌های مختلف شده است. افزایش اندازه بیضی‌ها نشان‌دهنده پخش‌شدنی زیاد آب در آن منطقه است. برای مقایسه بهتر بیضی رسم شده توسط نرم‌افزار هایدرووس شده توسط نرم‌افزار هایدرووس مدل هایدرووس شبیه‌سازی شده توسط نرم‌افزار هایدرووس جدول‌های ۶ تا ۹ قابل ارائه شده است.

۳-۳- تعیین مقدار ضریب K- با کاربرد دبی‌های دو، چهار، شش و هشت لیتر بر ساعت در انواع بافت خاک تعیین میزان K در رسم بیضی با استفاده از رابطه (۴) به انجام رسیده است. مقدار K به دست آمده برای رسم بیضی حاصل از محاسبات گشتاورها، برابر با $2/5$ است. با قرار دادن مقدار $2/5$ در رابطه فوق، شکل بیضی حاصل شده با جبهه رطوبتی حاصل از شبیه‌سازی با نرم‌افزار هایدرووس، بیشترین انطباق را خواهد یافت.

نتایج ارائه شده در جدول ۷ برای برآورد عرض و عمق پیاز رطوبتی نشان داد که نتایج حاصل برای عمق نفوذ در ساعت ابتدایی با استفاده از مدل هایدروس دو برابر بوده و این در حالی است که برای ساعت انتهایی این اختلاف کاهش پیدا می‌کند. در مورد عرض پیاز رطوبتی در هر دو ساعت ابتدایی و انتهایی مقادیر تا حدودی نزدیک به هم برآورد شده است و لازم به ذکر است مقادیر عرض حاصل شده از روش گشتاور بزرگ‌تر است. جدول ۸ نتایج عمق و عرض پیاز رطوبتی حاصل از هایدروس و ابعاد بیضی رسم شده از محاسبات گشتاورها را برای دبی شش لیتر بر ساعت نشان می‌دهد.

با توجه به نتایج ارائه شده در جدول ۶ با مقایسه عمق و عرض پیاز رطوبتی حاصل از هایدروس و بیضی رسم شده با دبی کاربردی دو لیتر بر ساعت مشخص شد که عمق نفوذ حاصل از هایدروس در ساعت ابتدایی دو برابر عمق نفوذ حاصل از بیضی است. این در حالی است که در ساعت انتهایی نتایج حاصل برای عمق نفوذ با استفاده از دو روش تقریباً برابر است، به طوری که در خاک با بافت شن میزان خطای حاصل ۲۲ میلی‌متر است. مقایسه نتایج حاصل برای عمق نشان داد که هر دو مدل عملکرد تقریباً نزدیک به هم در محاسبه عمق پیاز رطوبتی داشته‌اند. بیشترین میزان خطای مربوط به بافت رس شنی است.

جدول ۶- مقایسه عمق و عرض پیاز رطوبتی حاصل از هایدروس با ابعاد بیضی رسم شده از محاسبات گشتاورها با دبی کاربردی دو لیتر بر ساعت (بر حسب سانتی‌متر)

Table 6- Comparison of the depth and width of the moisture bulb obtained from Hydrus with the dimensions of the ellipse drawn from the Moment calculations with an applied flow rate of two $L \cdot hr^{-1}$ (in cm)

دبی کاربردی	نتایج حاصل از هایدروس در ساعت			نتایج حاصل از گشتاور در ساعت			نتایج حاصل از هایدروس در ساعت			بافت
	ابتدایی	انتهایی	ابتدایی	انتهایی	ابتدایی	انتهایی	ابتدایی	انتهایی	ابتدایی	
رس	48.2	38.92	44.33	40	29.32	6.73	27.45	11.1	11.1	رس
لوم روسی	54.95	43.21	48.41	46.1	25.47	6.7	25	11.56	11.56	لوم روسی
لوم	56.89	48.42	51.35	50.7	25.96	6.72	25.22	12.33	12.33	لوم
شن لومی	55.73	62.89	51.7	62.3	26.45	7.49	25.5	14	14	شن لومی
شن	73.69	157.78	84.3	158	28.94	27.89	20	34.3	34.3	شن
رس شنی	73.05	14.71	56.9	17.5	70.44	4.64	48.9	4.3	4.3	رس شنی
لوم روسی شنی	56.2	50.57	69.1	52.6	25.76	6.72	25.4	12.2	12.2	لوم روسی شنی
لوم شنی	53.5	55.3	50	57	26.12	6.73	25.9	12.5	12.5	لوم شنی
سیلت	58.66	46.79	54.36	50.5	26.2	6.83	25.5	12.4	12.4	سیلت
رس سیلتی	52.17	44.61	47	45.1	26	6.71	25	11.7	11.7	رس سیلتی
لوم روسی سیلتی	52.62	43.41	48.4	44.5	25.66	6.71	25	11.8	11.8	لوم روسی سیلتی
لوم سیلتی	59.55	47.03	54.5	50.3	26.17	6.77	25.57	12.55	12.55	لوم سیلتی

جدول ۷- مقایسه عمق و عرض پیاز رطوبتی حاصل از هایدروس با ابعاد بیضی رسم شده از محاسبات گشتاورها با دبی کاربردی چهار لیتر بر ساعت (بر حسب سانتی‌متر)

Table 7- Comparison of the depth and width of the moisture bulb obtained from hydrous with the oval dimensions drawn from the Moment calculations with an applied flow rate of four $L \cdot hr^{-1}$ (in cm)

دبی کاربردی	نتایج حاصل از هایدروس در ساعت			نتایج حاصل از گشتاور در ساعت			نتایج حاصل از هایدروس در ساعت			بافت
	ابتدایی	انتهایی	ابتدایی	انتهایی	ابتدایی	انتهایی	ابتدایی	انتهایی	ابتدایی	
رس	47.98	30.95	44	33.08	36.6	6.79	32.5	10.52	10.52	رس
لوم روسی	50.04	32.09	45.24	35.86	36.2	6.78	32	11.30	11.30	لوم روسی
لوم	52.19	35.63	47.73	37.2	37.19	6.82	32.9	11.93	11.93	لوم
شن لومی	52.75	43	48.4	44	38.72	7.71	33.23	13.60	13.60	شن لومی
شن	61.18	89.39	64.16	93.7	41.13	22.69	36.9	30	30	شن
رس شنی	79.24	9.17	64	14.3	72.3	5.22	57	5.9	5.9	رس شنی
لوم روسی شنی	51.8	37.11	46.8	38.3	36.66	6.8	33.3	12.1	12.1	لوم روسی شنی
لوم شنی	49.94	40.12	46.25	40.5	37.58	6.85	33.15	12.2	12.2	لوم شنی
سیلت	52.13	34.65	48.85	26.9	38.33	7.03	33	12.2	12.2	سیلت
رس سیلتی	48.77	31.29	45	33.6	36.38	6.78	33	11.3	11.3	رس سیلتی
لوم روسی سیلتی	49.01	30.76	45.26	33.2	37.13	6.78	32.5	11.3	11.3	لوم روسی سیلتی
لوم سیلتی	52.67	35.17	49.06	37.3	38.18	6.98	33.07	12.2	12.2	لوم سیلتی

جدول ۸- مقایسه عمق و عرض پیاز رطوبتی حاصل از هایدروس با ابعاد بیضی رسم شده از محاسبات گشتاورها با دبی کاربردی شش لیتر بر ساعت (بر حسب سانتی‌متر)

Table 8- Comparison of the depth and width of the moisture bulb obtained from hydrous with the dimensions of the oval drawn from the Moment calculations with an applied flow rate of six L hr⁻¹ (in cm)

عرض بیضی	نتایج حاصل از گشتاور در ساعت		نتایج حاصل از گشتاور در ساعت		نتایج حاصل از گشتاور در ساعت		نتایج حاصل از هایدروس در ساعت		بافت
	ابتدا	انتهایی	ابتدا	انتهایی	ابتدا	انتهایی	ابتدا	انتهایی	
51.49	21.83	46	23	48.84	6.67	40	10	رس	
51.56	28.25	45.15	29.6	42.79	6.79	36.81	11.05	لوم رسی	
52.3	30.79	48	32.8	42.56	6.9	36.9	11.97	لوم	
52.59	34.79	48.3	37	43.92	8.74	37.27	14.55	شن لومی	
60	71.51	57.4	74.6	47.83	23.99	40	27.8	شن	
86.11	7.45	69.8	12.1	73.46	5.57	65.72	5.67	رس شنی	
52.48	29.44	45.5	31	39.2	6.75	37	11.5	لوم رسی شنی	
51.4	32	47.1	34.3	42.67	7.06	37.7	12.8	لوم شنی	
55.94	36.29	48.54	31.7	43.43	7.64	37.25	12.5	سیلت	
49.99	26.13	45.5	28.4	43.9	6.77	37	11.3	رس سیلتی	
51.78	28.5	45.5	28.5	46.28	6.75	37.2	11.5	لوم رسی سیلتی	
52.48	29.91	48.7	32.5	43.33	7.46	37.6	12.5	لوم سیلتی	

خاک با بافت لوم رسی سیلتی با خطای صفر درصد است. نتایج حاصل برای مقایسه عمق و عرض پیاز رطوبتی حاصل از هایدروس و ابعاد بیضی رسم شده در جدول ۹ ارائه شده است.

با توجه به نتایج مندرج در جدول ۸، با دبی شش لیتر بر ساعت در محاسبه عمق نفوذ در ساعت انتهایی بیشترین میزان خطای مربوط به خاک با بافت رس شنی و کمترین خطا مربوط به

جدول ۹- مقایسه عمق و عرض پیاز رطوبتی حاصل از هایدروس با ابعاد بیضی رسم شده از محاسبات گشتاورها با دبی کاربردی هشت لیتر بر ساعت (بر حسب سانتی‌متر)

Table 9- Comparison of the depth and width of the moisture bulb obtained from hydrous with the dimensions of the ellipse drawn from the Moment calculations with an applied flow rate of eight L hr⁻¹ (in cm)

عرض بیضی	نتایج حاصل از گشتاور در ساعت		نتایج حاصل از گشتاور در ساعت		نتایج حاصل از گشتاور در ساعت		نتایج حاصل از هایدروس در ساعت		بافت
	ابتدا	انتهایی	ابتدا	انتهایی	ابتدا	انتهایی	ابتدا	انتهایی	
55.64	17.56	50	19.5	54.06	6.63	44.15	10.5	رس	
53.48	21.49	45.8	13	48.85	6.73	40.9	11.17	لوم رسی	
55.31	23.47	48.1	85	49.85	6.81	40.62	11.86	لوم	
55.83	28.07	48.6	30	52.09	8.14	41.2	13.55	شن لومی	
63.29	56.54	55.5	60	56.75	22.92	43.6	27	شن	
96.92	7.41	77	11.1	84.08	5.83	73.44	6	رس شنی	
54.98	23.79	48.1	16.5	49	6.78	41.6	11.7	لوم رسی شنی	
55.02	24.85	48.4	27	50.42	6.88	31.35	12.2	لوم شنی	
55.9	22.9	48.65	36	51.6	7.18	41.2	11.75	سیلت	
53.02	20.33	46.3	22	49.41	5.72	41	11.5	رس سیلتی	
55	22.15	46.3	22.4	51.9	6.7	40.86	11	لوم رسی سیلتی	
56.04	23.28	48.6	26.23	51.36	7.11	41.3	11.9	لوم سیلتی	

با توجه به نتایج ارائه شده در جدول‌های فوق، با مقایسه مقادیر عرض و عمق حاصل از مدل هایدروس و بیضی رسم شده می‌توان نتیجه گرفت که هر دو روش نتایج تقریباً نزدیک به هم ارائه کرده و براساس نتایج حاصل از مطالعه پژوهش‌گران قبلی Moslemi et al. (2021) Lazarovitch et al. (2007) می‌توان با کاربرد گشتاورها تحت آبیاری قطره‌ای نحوه الگوی توزیع رطوبت در خاک را با دقت مطلوبی شبیه‌سازی نمود. دقت روش تحلیل گشتاورها در شبیه‌سازی انواع الگوهای رطوبتی حاصل از آبیاری قطره‌ای تحت دیهای متفاوت با کاربرد حجم‌های متفاوت آب موردن مشابه مدل هایدروس بوده و لذا، امکان استفاده از این قابلیت برای پیش‌بینی الگوی رطوبت

با توجه به نتایج ارائه شده در جدول ۹، با مقایسه مقادیر عرض و عمق حاصل از مدل هایدروس و بیضی رسم شده می‌توان نتیجه گرفت که هر دو روش در دبی هشت لیتر بر ساعت نتایج تقریباً نزدیک به هم ارائه کرده به این صورت که در ساعت ابتدایی در مورد عمق نفوذ کمترین میزان خطای مربوط به خاک با بافت رس شنی با خطای ۱۷ میلی‌متر است و در ساعت انتهایی مربوط به خاک با بافت لوم رسی سیلتی با اختلاف ۲۵ میلی‌متر است. در مورد عرض پیاز رطوبتی مقادیر پیش‌بینی شده نتایج حاصل از دو مدل اختلاف زیادی با یک‌دیگر داشته و حاکی از آن است که در دبی هشت لیتر بر ساعت عرض پیاز رطوبتی به خوبی برآورده است.

دسترسی به داده‌ها

داده‌ها و نتایج استفاده شده در این پژوهش از طریق مکاتبه با نویسنده مسئول در اختیار قرار خواهد گرفت.

مشارکت نویسنده‌گان

علی نوری: انجام تحلیل‌های نرم‌افزاری/آماری، نگارش نسخه اولیه مقاله؛ علی اشرف صدرالدینی: راهنمایی، مفهوم‌سازی، کنترل نتایج، ویرایش و بازبینی مقاله؛ سعید صمدیان فرد: انجام تحلیل‌های نرم‌افزاری/آماری، ویرایش و بازبینی مقاله، راهنمایی؛ فاطمه میکائیلی: انجام تحلیل‌های نرم‌افزاری/آماری، نگارش نسخه اولیه مقاله.

منابع

- اطمینان، سمانه، جلالی، وحدت‌رضه، محمود‌آبدی، مجید، خاشعی سیوکی، عباس، و پورضا بیلنده، محسن (۱۴۰۲). ارزیابی عدم قطیعت پارامترهای هیدرولیکی مدل HYDRUS با استفاده از روش DREAM. *مدل‌سازی و مدیریت آب و خاک*, ۴(۳)، ۱۵۱-۱۱۵۹. doi:10.22098/mmws.2022.11659.1152
- جهان‌تیغ، منصور (۱۴۰۰). اثرات روش‌های آبیاری زیرسطحی، سفالی و قطره‌ای بر رشد نهال توت در مناطق خشک (مطالعه موردی: منطقه سیستان). *مدل‌سازی و مدیریت آب و خاک*, ۱(۲)، ۲۵-۳۵. doi:10.22098/mmws.2021.8691
- رئوف، مجید، اکبری باصری، زینب، رسول‌زاده، علی و عزیزی مصر، جوانشیر (۱۴۰۱). تحلیل حساسیت نرم‌افزار Hydrus نسبت به داده‌های ورودی در شبیه‌سازی حرکت آب و جذب ریشه‌گیاه. *مرجع چمن، مدل‌سازی و مدیریت آب و خاک*, ۳(۳)، ۹۴-۱۰۷. doi:10.22098/mmws.2022.10847.1090
- صمدیان فرد، سعید (۱۳۹۸). شبیه‌سازی عددی و تحلیلی پیش‌روی جبهه رطوبتی در آبیاری قطره‌ای. پایان‌نامه کارشناسی ارشد. دانشگاه تبریز.
- قریانی، امیر (۱۳۹۲). ارزیابی مدل‌های پیش‌بینی الگوی توزیع رطوبت خاک در آبیاری قطره‌ای با منع نقطه‌ای. پایان‌نامه کارشناسی ارشد. دانشگاه تبریز.
- کاظمی، هایله (۱۳۹۰). بررسی تجزیی و عددی توزیع رطوبت خاک در آبیاری قطره‌ای سطحی و زیرسطحی. پایان‌نامه کارشناسی ارشد. دانشگاه تبریز.
- مسلمی، سمیرا، ناظمی، امیر حسین، صدرالدینی، علی اشرف، صمدیان فرد، سعید، و میکائیلی، فاطمه (۱۴۰۱). توزیع آب در خاک تحت آبیاری قطره‌ای توسط تحلیل گشتاور با کاربرد دبی‌های مختلف. *دانش آب و خاک*, ۴(۳)، ۱۷۹-۱۹۸. doi:10.22034/WS.2022.51372.2472
- نوروزیان، زهره، صدرالدینی، علی اشرف، ناظمی، امیرحسین و دلیر حسن نیا، رضا (۱۳۹۵). بررسی تجزیی و عددی توزیع رطوبت خاک در آبیاری قطره‌ای زیرسطحی در خاک‌های لایه‌ای مسطح و شبیدار. *دانش آب و خاک*, ۴(۲)، ۱۳-۲۷. doi:10.22098/mmws.2022.51372.2472

References

- Autovino, D., Rallo, G., & Provenzano, G. (2018). Predicting soil and plant water status dynamic in olive orchards under different irrigation systems with Hydrus-2D: Model performance

حاصل از یک دبی معین با کاربرد حجم آب مشخص امکان‌پذیر است. با توجه به نتایج حاصله در این پژوهش، می‌توان به ازای هر میزان دبی و نوع بافت خاک، مقادیر نظیر M_{00} و نیز مقادیر گشتاورهای Z_5 را تعیین نمود. مقادیر مذکور قابلیت کاربرد در روش‌های یادگیری ماشین را دارند که خود مزبته برای روش گشتاورها است. لازم به ذکر است که مطالعات پیشین در این زمیه فقط محدود به چند نوع بافت خاک بود که در پژوهش حاضر تلاش شد که در تمامی ۱۲ نوع بافت خاک، قابلیت مدل گشتاورها ارزیابی شود. نتایج توانایی بالای مدل گشتاورها در خصوص مدل‌سازی توزیع میزان رطوبت و نحوه گسترش آن در خاک را تأیید نمود که این نتایج می‌توانند توسط سایر پژوهش‌گران در انواع خاک‌ها با صحت قابل قبولی به کار گرفته شوند.

۴- نتیجه‌گیری

در پژوهش انجام شده، بهمنظور بررسی صحت روش تحلیلی محاسبه گشتاور، جهت پیش‌بینی توزیع پیاز رطوبتی حاصل از آبیاری قطره‌ای، ابتدا شبیه‌سازی رفتار زیرسطحی رطوبت به کمک مدل هایدروس انجام شد. این آزمایش در ۱۲ نوع بافت خاک تعریف شده در نرم‌افزار Rzta که در نرم‌افزار هایدروس گنجانده شده، با دبی‌های کاربردی دو، چهار، شش و هشت لیتر بر ساعت انجام شد و نتایج حاصل در بازه‌های یک ساعته ثبت شده و داده‌های هایدروس انجام شده در روش گشتاور مورد استفاده قرار گرفت. نتایج حاصل بیان داشت که با کمک روش تحلیل گشتاور می‌توان موقعیت مرکز جرم آب توزیع شده در خاک، تغییرات جبهه رطوبتی نسبت به محور X و Z به دست آورد. با بررسی و مقایسه ابعاد جبهه رطوبتی حاصل از هایدروس و بیضی‌ها، مشاهده شد که انطباق مناسبی بین دو روش وجود دارد. از این‌رو، می‌توان به نتایج حاصل از روش تحلیلی گشتاور به جهت بررسی ابعاد پیاز رطوبتی حاصل از آبیاری قطره‌ای اتکا کرد و مدت زمان انجام آزمایش‌ها و پژوهش‌های میدانی را به صورت بهینه و در کمترین زمان به انجام رساند.

سپاسگزاری

بدین‌وسیله از حمایت‌های مادی و معنوی دانشگاه تبریز که باعث افزایش کیفیت پژوهش حاضر شد، سپاسگزاری می‌شود.

تضاد منافع نویسنده‌گان

نویسنده‌گان این مقاله اعلام می‌دارند که هیچ‌گونه تضاد منافعی در خصوص نگارش و انتشار و نتایج این پژوهش وجود ندارند.

and scenario analysis. *Agricultural Water Management*, 203, 225-235. doi: 10.1016/j.agwat.2018.03.015

Carsel, R.F., & Parrish, R.S. (1988). Developing joint probability distributions of soil

- water retention characteristics, *Water Resource Research*, 24, 755- 769.
- Ghorbani, A. (2013). Evaluation of prediction models of soil moisture distribution pattern in drip irrigation with point source. Master's Thesis, University of Tabriz, Tabriz, Iran. [In Persian]
- Etminan, S., Jalali, V.R., Mamodabadi, M., Khashei-Siuki, A., & Pourreza-Bilondi, M. (2023). Assessing the hydraulic parameter's uncertainty of the HYDRUS model using DREAM method. *Water and Soil Management and Modeling*, 3(4), 1-15. doi:10.22098/mmws.2022.11659.1152. [In Persian]
- Hinnell, A.C., Lazarovitch, N., & Furman, A. (2010). Neuro-drip: estimation of subsurface wetting patterns for drip irrigation using neural networks. *Irrigation Science*, 28, 535-544. doi:10.1007/s00271-010-0214-8
- Jahantigh, M. (2021). Effects of irrigation methods of subsurface, clay pot and drop on Mulberry growth in dry land region (Case study: Sistan area). *Water and Soil Management and Modeling*, 1(2), 25-35. doi:10.22098/mmws.2021.8691. [In Persian]
- Karimi, B., Karimi, N., Shiri, J., & Sanikhani, H. (2022). Modeling moisture redistribution of drip irrigation systems by soil and system parameters: regression-based approaches. *Stochastic Environmental Research and Risk Assessment*, 36(1), 157-172. doi: 10.21203/rs.3.rs-267556/v1
- Kazemi, H. (2011). Experimental and numerical investigation of soil moisture distribution in surface and subsurface drip irrigation. Master's Thesis, University of Tabriz, Tabriz, Iran. [In Persian]
- Kazemi, H., Sadraddini, A.A., Nazemi, A.H., & Sanchez, C. (2021). A moment analysis for modeling soil water distribution in furrow irrigation: variable vs. constant ponding depths. *Water*, 13, 1415. doi:10.3390/w13101415
- Kisi, O., Khosravinia, P., Heddam, S., Karimi, B., & Karimi, N. (2021). Modeling wetting front redistribution of drip irrigation systems using a new machine learning method: Adaptive neuro-fuzzy system improved by hybrid particle swarm optimization-Gravity search algorithm. *Agricultural Water Management*, 256. doi: 10.1016/j.agwat.2021.107067
- Kumar Vishwakarma, D., Kumar, R., Tomar, A.S., & Kuriqi, A. (2023). Eco-hydrological modeling of soil wetting pattern dimensions under drip irrigation systems. *Helion*, 9(7), e18078. doi: 10.1016/j.heliyon.2023.e18078
- Lazarovitch, N., Warrick, A.W., Furman, A., & Simunek, J. (2007). Subsurface water distribution from drip irrigation described by moment analyses. *Vadose Zone Journal*, 6, 116-123. doi:10.2136/vzj2006.0052
- Lazarovitch, N., Warrick, A.W., Furman, A., & Zerihun, D. (2009). Subsurface water distribution from furrows described by moment analyses. *Journal of Irrigation and Drainage Engineering*, 135, 7-12. doi:10.1061/(ASCE)0733-9437(2009)135:1
- Li, J., Zhang, J., & Ren, L. (2003). Water and nitrogen distribution as affected by fertigation of ammonium nitrate from a point source. *Irrigation Science*, 22, 19-30. doi: 10.1007/s00271-003-0064-8
- Moslemi, S., Nazemi, A.H., Sadraddini, A.A., Samadianfard, S., & Mikaeili, F. (2021). Distribution of water in soil under drip irrigation by moment analysis using different discharges. *Water and Soil Science*, 34(3), 179-198. doi:10.22034/WS.2022.51372.2472. [In Persian]
- Norouzian, Z., Sadraddini, A.A., Nazemi, AH., & Delirhasannia, R. (2017). Experimental and numerical investigations of soil water distribution under subsurface drip irrigation in level and sloping layered soils. *Water and Soil Science*, 26(4), 13-27. [In Persian]
- Radcliffe, D., & Šimunek, J. (2010). Soil physics with HYDRUS: Modeling and applications; CRC Press, *Taylor and Francis Group: Boca Raton, FL, USA* p: 388. doi:10.1201/9781315275666
- Raoof, M., Akbari Baseri, Z., Rasoulzadeh, A., & Azizi Mobaser, J. (2022). Sensitivity analysis of Hydrus software to input data in simulating water movement and root uptake of grass as reference plant. *Water and Soil Management and Modeling*, 2(3), 94-107. doi:10.22098/mmws.2022.10847.1090. [In Persian]
- Samadianfard, S. (2009). Numerical and analytical simulation of wetting front advancing in drip irrigation. Master's Thesis, University of Tabriz, Tabriz, Iran. [In Persian]
- Shiri, J., Karimi, B., Karimi, N., Kazemi, M.H., & Karimi, S. (2020). Simulating wetting front dimensions of drip irrigation systems: Multi criteria assessment of soft computing models. *Journal of Hydrology*, 585, 124792. doi: 10.1016/j.jhydrol.2020.124792
- Siyal, A.A., & Skaggs, T.H. (2009). Measured and clay pipe subsurface irrigation, Agric. *Agricultural Water Management*, 96, 893-904. doi: 10.1016/j.agwat.2008.11.013
- Yeh, T.C.J., Ye, M., & Khaleel, R. (2005). Estimation of effective unsaturated hydraulic conductivity tensor using spatial moments of observed moisture plume. *Water Resource Research*, 41. doi:10.1029/2004WR003736
- Zhenjie, Q., Jiusheng, L., & Weixia, Z. (2017). Effects of lateral depth and irrigation level on nitrate and Escherichia coli leaching in the North China Plain for subsurface drip irrigation applying sewage effluent. *Irrigation Science*, 35(6), 469-482. doi:10.1007/s00271-017-0553-9.